

Nullité et indénombrabilité dans l'homologie des groupes de difféotopie des surfaces de type infini

①

Travail en commun avec
Xiaolei Wu (Shanghai)

Séminaire GAAO
Clermont-Ferrand
15 Avril 2025

S — surface de type infini

$$\text{Mod}(S) = \pi_0(\text{Homeo}^+(S))$$

↖ id sur ∂S

Type infini $\stackrel{\text{déb.}}{\Leftrightarrow} S \neq$ surface compacte moins quelques composantes de ∂
 $\Leftrightarrow \pi_1(S)$ pas de type fini (\neq ensemble fini de générateurs)
 $\Leftrightarrow \text{Mod}(S)$ est indénombrable

Exemples

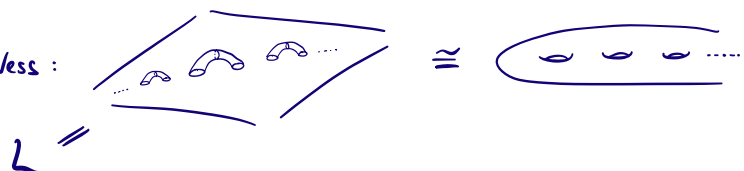
(1) Σ surface de type fini $\rightsquigarrow \Sigma - \mathcal{C}$

ensemble de Cantor

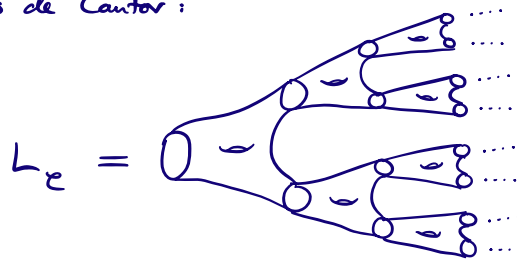
— Liée avec des systèmes dynamiques sur Σ .

— $\mathbb{R}^2 - \mathcal{C} \rightsquigarrow$ motivation clé pour D. Calegari quand il a popularisé les "grands groupes de difféotopie" en 2009

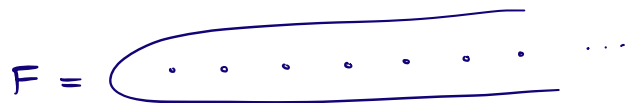
(2) Surface du monstre du Loch Ness :



(3) Monstre du Loch Ness de Cantor :



(4) Surface de flûte :



[Kerékjártó, Richards]

En général, les surfaces connexes, orientables avec $\partial = \emptyset$ sont classifiées par

- $\text{genre}(S) \quad \mathbb{N} \cup \{\infty\}$
- (E, E_{np}) (espace qui est \cong sous-espace fermé de \mathbb{C} , sous-espace fermé)
 $E_{np} \neq \emptyset \iff \text{genre}(S) = \infty$

\bar{S} = compactification de Freudenthal de S

E_{np} = espace des bouts ^{non planaires} de $S = \underbrace{\bar{S}}_{\text{les points non localement planaires de}} \setminus S$

Exemples

S	$\text{genre}(S)$	E	E_{np}
$\mathbb{R}^2 - \mathcal{C}$	0	\mathcal{C}_\perp^*	\emptyset
L	∞	$*$	$*$
$L_\epsilon \cup D^2$	∞	\mathcal{C}	\mathcal{C}
F	0	$(\mathbb{N})^+$	\emptyset

Nullité

③

Thm A (P.-Wu '22)

$$\forall i \geq 1, \quad H_i(\text{Mod}(\mathbb{D}^2 \setminus \epsilon); \mathbb{Z}) = 0 = H_i(\text{Mod}(L_\epsilon); \mathbb{Z})$$

$$\hookrightarrow \underline{\text{Cero}} \quad H^*(\text{Mod}(\mathbb{R}^2 \setminus \epsilon); \mathbb{Z}) \cong \mathbb{Z}[x] \quad \deg(x) = 2$$

Thm B (P.-Wu '24)

Si $\text{genre}(S) = \infty$ et $\Sigma \subset S$ est une sous-surface compacte,
alors $\forall i \geq 1, \quad H_i(\text{Mod}(\Sigma); \mathbb{F}) \xrightarrow{0} H_i(\text{Mod}(S); \mathbb{F})$
pour tout corps \mathbb{F} .

$$\hookrightarrow \underline{\text{Cero}} \quad \text{colim}_{\Sigma \text{ cpt}} (H_*(\text{Mod}(\Sigma); \mathbb{Q})) \xrightarrow{0} H_*(\text{Mod}(S); \mathbb{Q})$$

$\mathbb{Q}[x_1, x_2, x_3, \dots]^*$
Conjecture de Mumford [Madsen-Weiss '02] $\xrightarrow{\text{H}} \mathbb{Q}[x_1, x_2, x_3, \dots]^*$
classes de Miller-Morita-Mumford

\uparrow Peut cela être non nulle ?

Remarques (a) Avec des coefficients dans \mathbb{Z} au lieu de $\mathbb{F} \rightarrow$ question ouverte.
($\mathbb{Z} \xrightarrow{1/2} \mathbb{Q}/\mathbb{Z}$)

(b) Nous répondons aussi partiellement à la question pour $\text{genre}(S) < \infty$, qui est plus compliquée.

Indénombrabilité

④

Thm C (P.-Wu'22)

$$(1) \quad \forall i \geq 1 \quad H_i(\text{Mod}(L); \mathbb{Z}) \cong \bigoplus_{|\mathbb{R}|} \mathbb{Z}$$

(2) La même pour $\text{Mod}(F)$.

Remarques (a) Également vrai pour des coefficients dans tout corps \mathbb{F} de caractéristique 0, et plus généralement tout groupe abélien A tel que $A \rightarrow A \otimes_{\mathbb{Z}} \mathbb{Q}$ soit injectif.

(b) Ceci généralise [Domat'20], qui a étudié H_1 .

(c) Il n'y a pas de torsion connue...

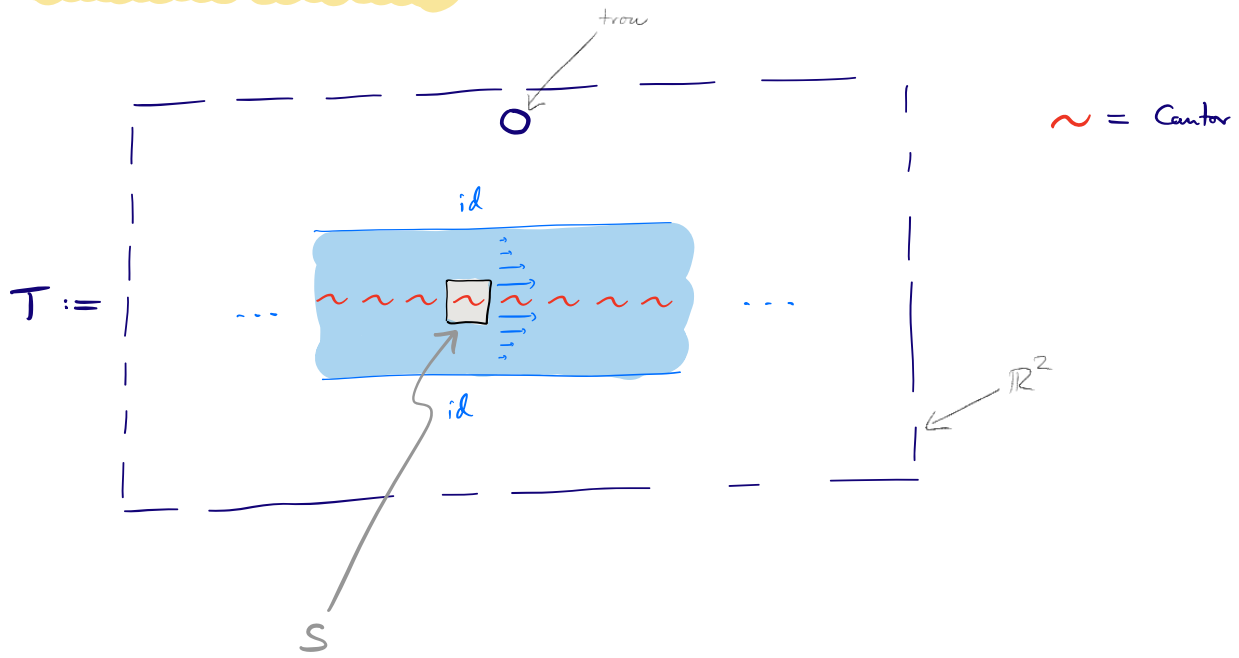
Exercice pour le public

(Sera utilisé dans 20-30 minutes...)

\exists collection de taille indénombrable $\{X_a \subseteq \mathbb{N} \mid a \in \mathbb{R}\}$ telle que

- tout X_a est infini
- tout $X_a \cap X_b$ est fini

Démonstration du Thm A



$S \cong \mathbb{D}^2 \setminus \mathcal{C}$

T : genre = 0
 espace des bouts = $(\coprod_{\mathbb{N}} \mathcal{C})^+$ $\cong \mathcal{C}$.
 $\partial = S'$ $\Rightarrow T \cong \mathbb{D}^2 \setminus \mathcal{C}$.

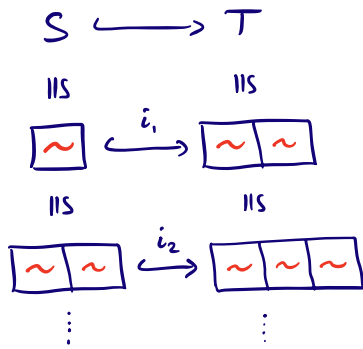
$\varphi \in \text{Homeo}_2(T)$

- Les images itérées de S sont disjointes par paires.
- Leur réunion est fermé.

↓ Prop.
 / adaptée de [Mañé '71]
 \ liée aux groupes dissipés (binates) [Bevick, Varadarajan]

Si $\text{Map}(S) \rightarrow \text{Map}(T)$ est un H_* -isomorphisme
 alors $H_i(\text{Map}(S)) = H_i(\text{Map}(T)) = 0$ pour tout $i \geq 1$.
 (Note: An arrow labeled 'prolonger avec id sur $T \setminus S$ ' points from the map to the text above.)

Obs



Thm (P.-Wu)

$$\text{Mod}(\boxed{\sim}) \xrightarrow{(i_1)_*} \text{Mod}(\boxed{\sim \quad \sim}) \xrightarrow{(i_2)_*} \text{Mod}(\boxed{\sim \quad \sim \quad \sim}) \rightarrow \dots$$

est homologiquement stable: $(i_n)_*$ induit \cong sur $H_k(-)$ si $k \leq \frac{n}{2}$.

\hookrightarrow Coro $(i_1)_*$ est un H_* -isomorphisme (en tout degré).

Notes:

- La démonstration de la stabilité homologique utilise des techniques de [Szymik-Wahl '17], qui ont démontré la conjecture de longue date selon laquelle le groupe V de Thompson soit acyclique.

- Extension centrale $0 \rightarrow \mathbb{Z} \rightarrow \text{Mod}(\mathbb{D}^2 \setminus e) \rightarrow \text{Mod}(\mathbb{R}^2 \setminus e) \rightarrow 1$

Suite spectrale de Lyndon-Hochschild-Serre :

$$E^2 = \begin{array}{|c|} \hline H_* \text{Mod}(\mathbb{R}^2 \setminus e) \\ \hline H_* \text{Mod}(\mathbb{D}^2 \setminus e) \\ \hline \end{array} \Rightarrow \begin{array}{|c|} \hline 0 \\ \hline \mathbb{Z} \\ \hline \end{array} = E^\infty$$

Démonstration du Thm B

Étape 1

Déf. T surface avec $\partial T \cong S^1$

$$\text{Grid}(T) := \begin{array}{cccc} \vdots & \vdots & \vdots & \vdots \\ \dots & T & T & T & T & \dots \\ \dots & T & T & T & T & \dots \\ \dots & T & T & T & T & \dots \end{array}$$

Proposition

Pour une telle surface T et tout corps \mathbb{F} ,

$$H_i(\text{Mod}(T); \mathbb{F}) \longrightarrow H_i(\text{Mod}(\text{Grid}(T)); \mathbb{F})$$

est 0 pour tout $i \geq 1$.

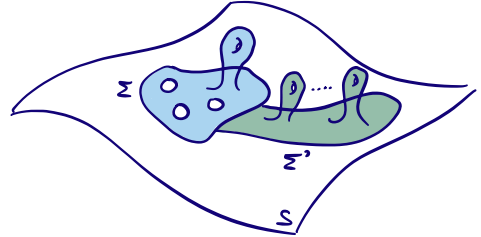
Remarques (a) La démonstration utilise une stratégie dynamique similaire à la démonstration de la Proposition dans la démonstration du Thm A ci-dessus — mais en utilisant deux dimensions au lieu de seulement une.

(b) [Berrick, Varadarajan] démontrent que les groupes pseudo-mitotiques (binates) sont acycliques en utilisant une stratégie d'itération infinie, comme dans la démonstration du Thm A.

(c) Pourquoi des coefficients dans un corps \mathbb{F} : on a besoin d'un scindement naturel dans la suite exacte courte de Künneth.

Étape 2

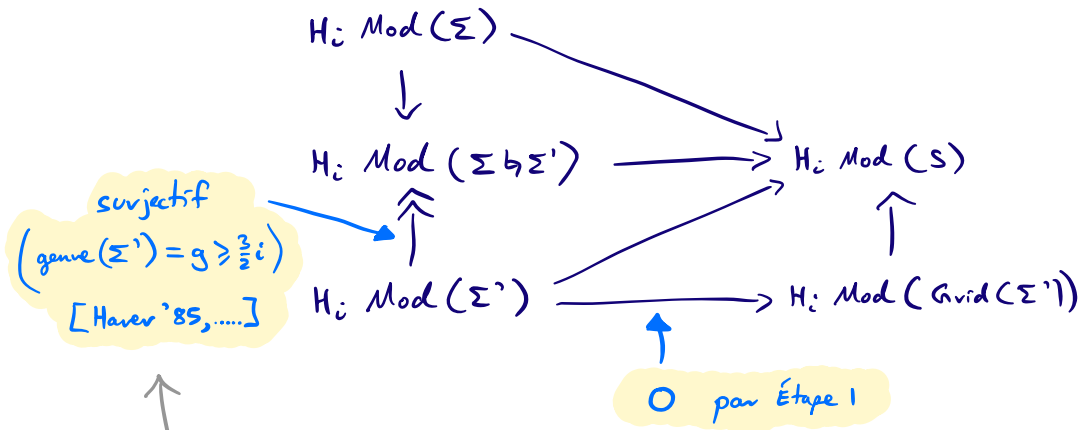
(i) Pour tout $g \geq 0$, trouver $\Sigma' \hookrightarrow S$ t.g. $\Sigma' \cap \Sigma = \text{intervalle}$
 \parallel
 $\Sigma_{g,1}$



(ii) Prolonger $\Sigma' \hookrightarrow S$
 \cap
 $\text{Grid}(\Sigma')$ \nwarrow plongement propre

(iii) Pour tout $i \geq 1$, choisir n'importe quel $g \geq \frac{3}{2}i$.

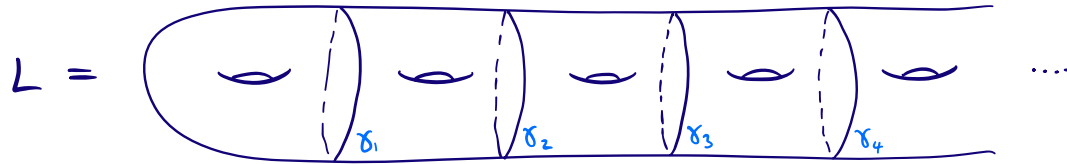
$H_i(-) = H_i(-; \mathbb{F})$



$\text{Mod}(\Sigma_{g,b}) \rightarrow \text{Mod}(\Sigma_{g+g', b+b'})$ induit \cong sur $H_i(-)$ lorsque $g \gg i$.

Point important: il y a la stabilité par rapport à g et b lorsque g est suffisamment grand (sans aucune condition sur b).

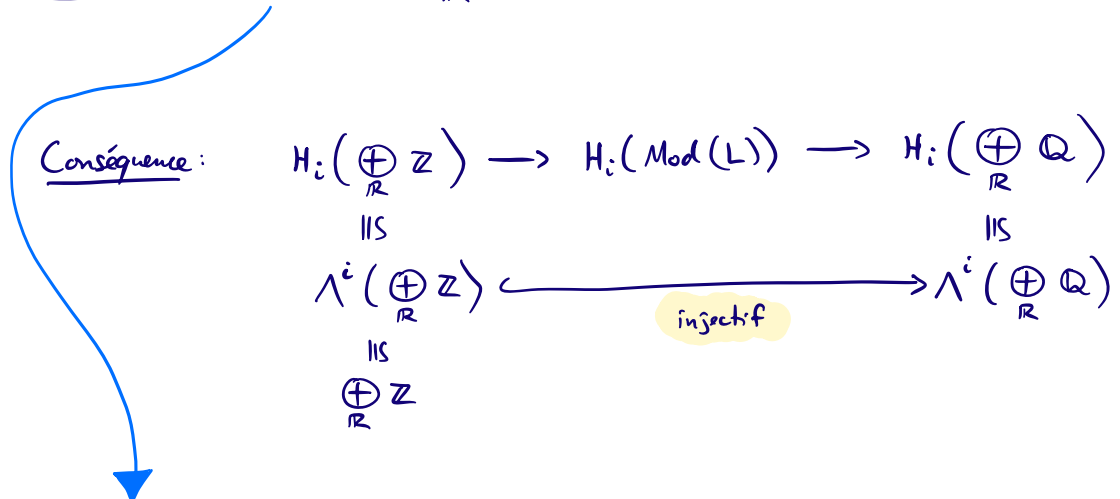
Démonstration du Thm C(1)



$$H_i(\text{Mod}(L); \mathbb{Z}) \cong \bigoplus_{\mathbb{R}} \mathbb{Z} \text{ pour } i \geq 1$$

$$H_i(-) = H_i(-; \mathbb{Z})$$

Idee : Factoriser $\bigoplus_{\mathbb{R}} \mathbb{Z} \hookrightarrow \bigoplus_{\mathbb{R}} \mathbb{Q}$ au travers de $\text{Mod}(L)$.



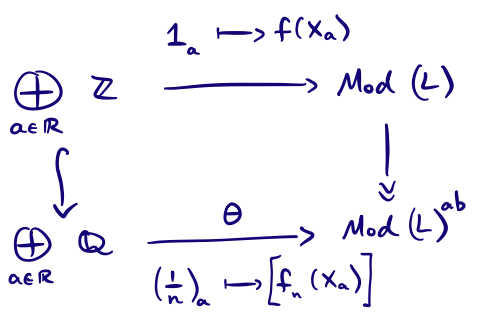
Construction:

$$X \subseteq \mathbb{N} \longrightarrow \begin{cases} f(X) := \prod_{i \in X} (T_{\delta_i})^{i!} \\ f_n(X) := \prod_{\substack{i \in X \\ i \geq n}} (T_{\delta_i})^{i!/n} \end{cases}$$

L'exercice de plus tôt :

\exists collection de taille indénombrable $\{X_a \subseteq \mathbb{N} \mid a \in \mathbb{R}\}$ telle que

- (*) $\left\{ \begin{array}{l} \cdot \text{ tout } X_a \text{ est infini} \\ \cdot \text{ tout } X_a \cap X_b \text{ est fini} \end{array} \right.$



Vérier :

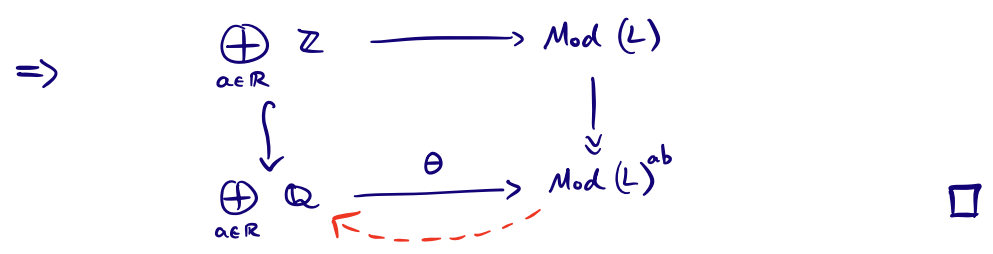
- $f(X_a) - f_n(X_a)^n$ support cpt
- [Birman, Powell '70s] \Rightarrow
 $[f(X_a) - f_n(X_a)^n] = 0$

(*) + [Donat '20] \leftarrow [Bestvina - Bromberg - Fujiwara '15]

$\Rightarrow \theta$ est injectif

Mais $\bigoplus_{\mathbb{R}} \mathbb{Q}$ est un \mathbb{Z} -module injectif

\Rightarrow tout morphisme injectif $\bigoplus_{\mathbb{R}} \mathbb{Q} \hookrightarrow A$ admet une retraction



Remarque

$$H^i(\bigoplus_{\mathbb{C}} \mathbb{Z}) \xleftarrow{0} H^i(\bigoplus_{\mathbb{C}} \mathbb{Q})$$

\parallel_S

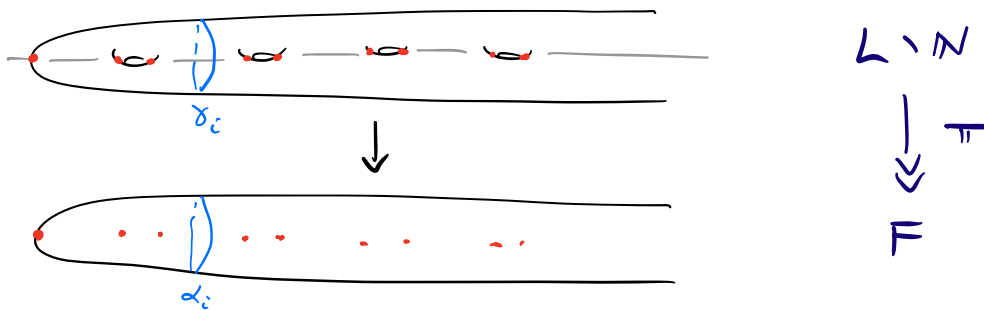
$$\prod_{\mathbb{C}} \mathbb{Z} \qquad \left\{ \begin{array}{ll} 0 & i=1 \\ \bigoplus_{\mathbb{Z}^c} \mathbb{Q} & i \geq 2 \end{array} \right\}$$

Démonstration du Thm C(2)

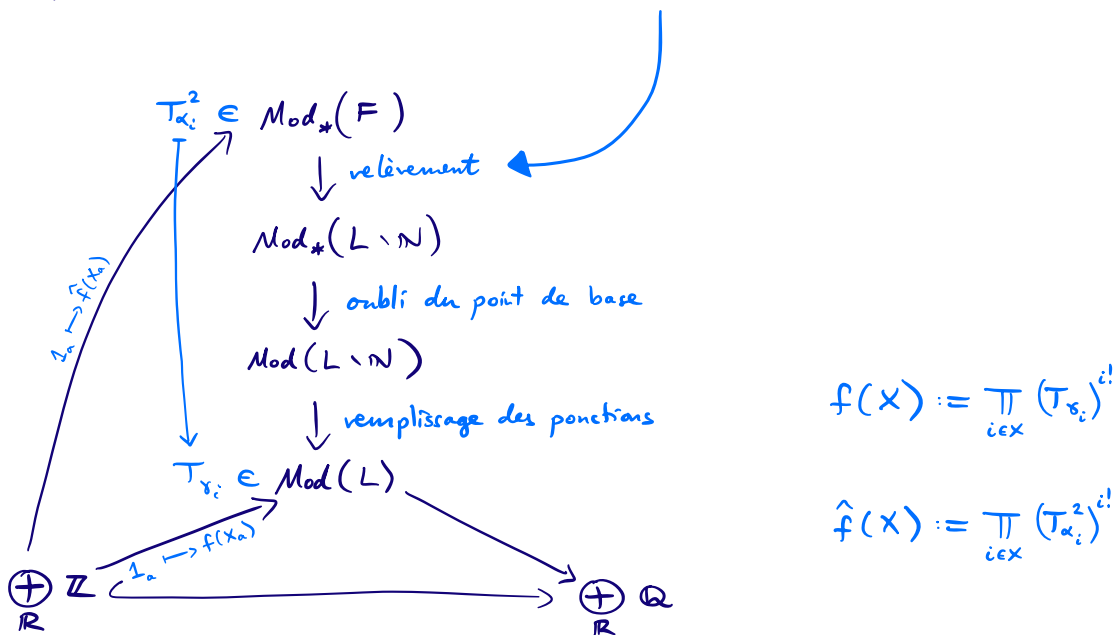
$$H_i(\text{Mod}(F); \mathbb{Z}) \cong \bigoplus_{|\mathbb{R}|} \mathbb{Z} \text{ pour } i \geq 1$$

↑
surface de flûte

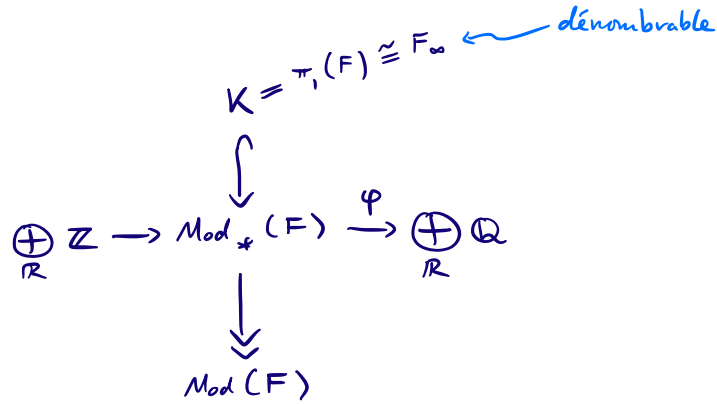
Idee (adaptée de [Malestein-Tao'21]):



Lemme Tout homéomorphisme basé de F préserve $\pi_1(L \setminus N) \triangleleft \pi_1(F)$ et peut donc être relevé (uniquement) à un homéomorphisme basé de $L \setminus N$.



Puis passer vers $\text{Mod}(F)$ en utilisant la suite exacte de Birman

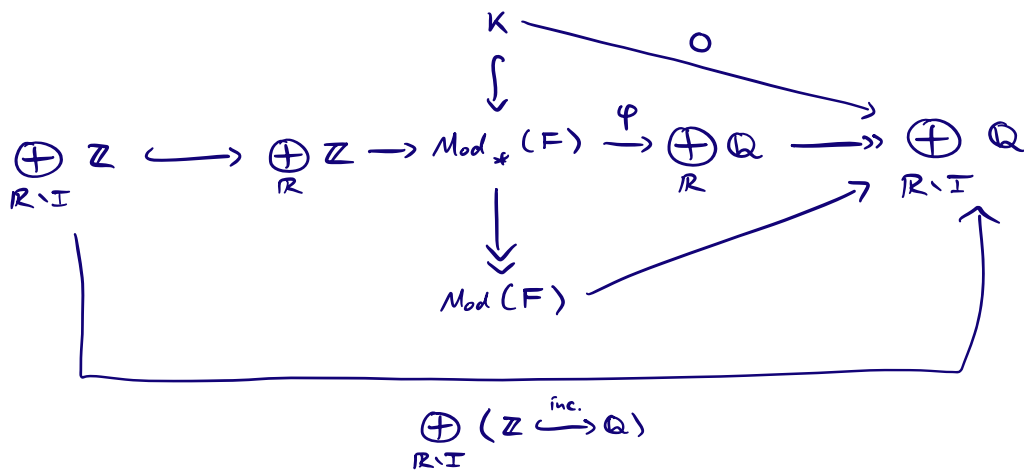


$$I \subseteq \mathbb{R}$$

$I :=$ composants de $\bigoplus_{\mathbb{R}} \mathbb{Q}$ où un élément de $\varphi(K)$ a une coordonnée non nulle.

dénombrable

$$\Rightarrow |\mathbb{R} \setminus I| = |\mathbb{R}|.$$



□